

## Werk

**Label:** Article

**PURL:** [https://resolver.sub.uni-goettingen.de/purl?31311028X\\_0066|log50](https://resolver.sub.uni-goettingen.de/purl?31311028X_0066|log50)

## Kontakt/Contact

Digizeitschriften e.V.  
SUB Göttingen  
Platz der Göttinger Sieben 1  
37073 Göttingen

✉ [info@digizeitschriften.de](mailto:info@digizeitschriften.de)

**Rozdělení teploty v omezeném kruhovém válci,  
je-li dáno časově proměnlivé rozdělení teploty na  
jeho povrchu.**

Napsal Filip Bock, Brno.

(Došlo 20. října 1936.)

Budiž dán omezený kruhový válec o výšce  $2h$  a poloměru  $a$ . Osový řez položíme tak do soustavy válcových souřadnic  $z, r, \varphi$ , jak ukazuje obr. 1. Tento kruhový válec je vnořen do časově proměnlivého tepelného pole, při čemž teplota na povrchu válce je periodickou funkcí času  $t$ ; na souřadnicích nezávisí.

Příklad: volně stojící betonový sloup vystavený vlivům tepelných výkyvů. Tážeme se, jak vnikají tepelná kolísání do válce a jak probíhají.

Diferenciální rovnice tepelného proudu

$$\frac{\partial u}{\partial t} = \kappa^2 \Delta u$$

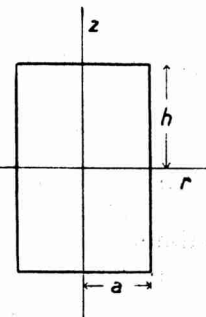
uvnitř válce nabývá v případě osové souměrnosti tvaru

$$\frac{\partial u}{\partial t} = \kappa^2 \left( \frac{\partial^2 u}{\partial r^2} + \frac{1}{r} \frac{\partial u}{\partial r} + \frac{\partial^2 u}{\partial z^2} \right), \quad (1)$$

kdež  $u$  značí teplotu,  $t$  jest čas,  $r$  a  $z$  mají význam patrný z obr. 1. Na úhlu  $\varphi$  teplota  $u$  nezávisí. Rovnici (1) řešíme známým způsobem. Partikulární řešení pro  $u$  píšeme v komplexním tvaru

$$u = R(r) e^{i\omega t} \cos \lambda z \quad (2)$$

a smluvíme, že reálná část komplexní veličiny  $u$ , tedy  $\Re u$ , představuje teplotu. Pro souměrnost válce vůči rovině  $z = 0$  bude patrně  $u$  sudou funkcí proměnné  $z$ ; proto jsme zvolili pro závislost na  $z$  funkci  $\cos z$ . Zavedeme-li nyní integrál (2) do diferenciální rovnice (1), obdržíme pro  $R$  diferenciální rovnici



Obr. 1.

$$R'' + \frac{1}{r} R' - \left( \lambda^2 + \frac{i\nu}{\kappa^2} \right) R = 0. \quad (3)$$

Integrál této rovnice jest

$$R = c J_0 \left[ r \sqrt{-\left( \frac{i\nu}{\kappa^2} + \lambda^2 \right)} \right]; \quad (4)$$

$J_0(x)$  jest Besselova funkce argumentu  $x$  a indexu nula.<sup>1)</sup> Pro partikulární řešení plyně pak

$$u = e^{i\nu t} \cdot \cos \lambda z \cdot J_0 \left[ r \sqrt{-\left( \frac{i\nu}{\kappa^2} + \lambda^2 \right)} \right].$$

Ve vnějším prostoru jest teplota závislá na času a mění se s danou kruhovou frekvencí  $\nu$ . Amplitudu tepelných změn, která je také známa, označíme  $A$  a předpokládáme, že se střední teplota rovná nule.<sup>2)</sup> Podmínky, které mají být splněny na povrchu válce, pak znějí

$$u = A e^{i\nu t} \quad \text{pro } r = a \quad (5)$$

a

$$u = A e^{i\nu t} \quad \text{pro } z = \pm h. \quad (6)$$

Řešení provedeme takto<sup>3)</sup>: Nejdříve stanovíme funkci  $u_1$ , která vyhovuje těmto krajkovým podmínkám

$$u_1 = A e^{i\nu t} \quad \text{pro } r = a \quad (7)$$

$$\text{a} \quad u_1 = 0 \quad \text{pro } z = \pm h, \quad (8)$$

pak určíme druhou funkci  $u_2$ , která hoví podmínkám

$$u_2 = 0 \quad \text{pro } r = a \quad (9)$$

$$\text{a} \quad u_2 = A e^{i\nu t} \quad \text{pro } z = \pm h. \quad (10)$$

Potom jistě splňuje

$$u = u_1 + u_2$$

podmínky (5) a (6).

Podmínka (8) dává hodnoty pro  $\lambda$ , neboť z rovnice

$$u \Big|_{z=\pm h} = e^{i\nu t} \cos \lambda h \cdot J_0 \left[ r \sqrt{-\left( \frac{i\nu}{\kappa^2} + \lambda^2 \right)} \right] = 0$$

<sup>1)</sup> Obecný integrál vlastně zní:

$$R = c J_0(x) + c_1 Y_0(x),$$

$Y_0(x)$  jest Neumannova funkce. Pro  $x = 0$  roste  $Y_0(x)$  přes všechny meze, takže  $c_1$  nutno zvolit rovno nule, abyhom zamezili vzniku funkce  $R$  a tím též teploty  $u$  na nekonečně velkou hodnotu.

<sup>2)</sup> Vhodnou volbou nulového bodu dá se toho vždy dosáhnouti.

<sup>3)</sup> Na možnost rozkladu  $u = u_1 + u_2$  upozornil mne p. prof. Weyrich.

vyplývá  $\cos \lambda h = 0$  a tedy

$$\lambda = (n + \frac{1}{2}) \frac{\pi}{h}.$$

Pro  $u_1$  se tak obdrží

$$u_1 = e^{irt} \sum_{n=0}^{\infty} a_n \cos(n + \frac{1}{2}) \frac{z}{h} \pi \cdot J_0 \left[ r \sqrt{-\left( \frac{i\nu}{\kappa^2} + (n + \frac{1}{2})^2 \frac{\pi^2}{h^2} \right)} \right].$$

Veličiny  $a_n$  jsou prozatím libovolné konstanty; určíme je z podmínky (7), jež nabývá tvaru

$$A = \sum_{n=0}^{\infty} a_n \cos(n + \frac{1}{2}) \frac{z}{h} \pi \cdot J_0 \left[ a \sqrt{-\left( \frac{i\nu}{\kappa^2} + (n + \frac{1}{2})^2 \frac{\pi^2}{h^2} \right)} \right]. \quad (11)$$

Konstanty  $a_n$  dostaneme známou metodou; obě strany rovnice (11) násobíme

$$\cos(n + \frac{1}{2}) \frac{z}{h} \pi dz$$

a integrujeme dle  $z$  v mezích od  $-h$  do  $h$ . Počet dává

$$a_n = \frac{2(-1)^n A}{(n + \frac{1}{2}) \pi J_0 \left[ a \sqrt{-\left( \frac{i\nu}{\kappa^2} + (n + \frac{1}{2})^2 \frac{\pi^2}{h^2} \right)} \right]}.$$

Tím konečně vznikne pro  $u_1$  výraz:

$$u_1 = \sum_{n=0}^{\infty} \frac{2(-1)^n A e^{irt} \cdot \cos(n + \frac{1}{2}) \frac{z}{h} \pi \cdot J_0 \left[ r \sqrt{-\left( \frac{i\nu}{\kappa^2} + (n + \frac{1}{2})^2 \frac{\pi^2}{h^2} \right)} \right]}{(n + \frac{1}{2}) \pi J_0 \left[ a \sqrt{-\left( \frac{i\nu}{\kappa^2} + (n + \frac{1}{2})^2 \frac{\pi^2}{h^2} \right)} \right]}. \quad (12)$$

Řešení pro  $u_2$  nalezneme podobným způsobem. Podmínka (9) dává

$$J_0 \left[ a \sqrt{-\left( \frac{i\nu}{\kappa^2} + \lambda^2 \right)} \right] = 0.$$

Jsou-li  $j_m$  ( $m = 1, 2, 3, \dots$ ) kořeny rovnice<sup>4)</sup>  $J_0(x) = 0$ , je

$$a \sqrt{-\left( \frac{i\nu}{\kappa^2} + \lambda^2 \right)} = j_m$$

a z toho

$$\lambda = \sqrt{-\left( \frac{j_m^2}{a^2} + \frac{i\nu}{\kappa^2} \right)}.$$

<sup>4)</sup> Kořeny této rovnice jsou tabelovány. Srv. Jahnke-Emde, Funktionentafeln, Lipsko 1928, str. 122.

Lze tedy  $u_2$  dátí tvar

$$u_2 = \sum_{m=0}^{\infty} b_m e^{int} \cos z \sqrt{-\left(\frac{j_m^2}{a^2} + \frac{iv}{\kappa^2}\right)} \cdot J_0\left(j_m \frac{r}{a}\right).$$

Zbývá ještě poslední krajní podmínka (10)

$$u_2|_{z=\pm h} = Ae^{int},$$

z ní plyne

$$A = \sum_{n=0}^{\infty} b_m \cos h \sqrt{-\left(\frac{j_m^2}{a^2} + \frac{iv}{\kappa^2}\right)} \cdot J_0\left(j_m \frac{r}{a}\right).$$

Konstanty  $b_m$  dostaneme, násobíme-li předešlou rovnici

$$rJ_0\left(j_m \frac{r}{a}\right)$$

a integrujeme-li podle  $r$  v mezích od 0 do  $a$ .

Integrace dává nejprve

$$A \frac{a}{j_m} \left| rJ_1\left(\frac{j_m}{a} r\right) \right|_0^a = b_m \cos h \sqrt{-\left(\frac{j_m^2}{a^2} + \frac{iv}{\kappa^2}\right)} \left[ J_0^2(j_m) + J_1^2(j_m) \right] \frac{a^2}{2}$$

a se zřetelem k

$$J_0(j_m) = 0$$

zjednoduší se výraz a pro  $b_m$  plyne

$$b_m = \frac{2A}{j_m J_1(j_m) \cos h \sqrt{-\left(\frac{j_m^2}{a^2} + \frac{iv}{\kappa^2}\right)}},$$

takže konečně  $u_2$  nabývá tvaru

$$u_2 = \sum_{m=0}^{\infty} -\frac{2Ae^{int} J_0\left(j_m \frac{r}{a}\right) \cos z \sqrt{-\left(\frac{j_m^2}{a^2} + \frac{iv}{\kappa^2}\right)}}{j_m J_1(j_m) \cos h \sqrt{-\left(\frac{j_m^2}{a^2} + \frac{iv}{\kappa^2}\right)}}. \quad (13)$$

Hledané rozdělení teploty skládá se aditivně z těchto částečných řešení  $u_1$  a  $u_2$ , takže

$$u = u_1 + u_2, \quad (14)$$

čímž řešení dané úlohy jest úplně určeno.

Pro numerické počítání bude výhodnější, napíšeme-li výrazy (12) a (13) v trochu pozměněném tvaru, který nám zároveň objasní fysikální smysl nalezeného řešení. Dále zavedeme nová označení. Vypočteme reálné části veličin  $u_1$  a  $u_2$ , o které konečně jde, asi takto.

Označíme (12)

$$\left| \left\{ \frac{iv}{\kappa^2} + (n + \frac{1}{2})^2 \frac{\pi^2}{h^2} \right\} \right| = p_n$$

$$a \quad \frac{v}{\kappa^2(n + \frac{1}{2})^2 \frac{\pi^2}{h^2}} = \operatorname{tg} \varphi_n,$$

potom jest

$$\sqrt{-p_n e^{i\varphi_n}} = \sqrt{p_n} \cdot e^{i(\frac{\varphi_n}{2} + \frac{\pi}{2})}. \quad (15)$$

Dosadíme do výrazu

$$J_0 \left( r \sqrt{\frac{iv}{\kappa^2} + (n + \frac{1}{2})^2 \frac{\pi^2}{h^2}} \right)$$

hodnotu (15) a obdržíme

$$J_0 \left[ r \sqrt{p_n} \exp i \left( \frac{\varphi_n}{2} + \frac{\pi}{2} \right) \right] = M_n e^{i\varphi_n}$$

a podobně

$$J_0 \left[ h \sqrt{p_n} \exp i \left( \frac{\varphi_n}{2} + \frac{\pi}{2} \right) \right] = \bar{M}_n e^{i\bar{\varphi}_n}.$$

Číselné hodnoty těchto funkcí lze přehlédnout z tabulky,<sup>5)</sup> při čemž veličina  $\psi$  jest funkcí proměnné  $r$ . Reálná část  $\Re e u_1$  dá se tudíž vyjádřiti výrazem

$$\Re e u_1 = \sum_{n=0}^{\infty} \frac{2(-1)^n A \cos(n + \frac{1}{2}) \frac{z}{h} \pi M_n}{(n + \frac{1}{2}) \pi \bar{M}_n} \cos(vt + \varphi_n - \bar{\varphi}_n)$$

a představuje, jak se dalo očekávat, vlnu, která směrem poloměru postupuje a ve směru osy  $z$  nabývá charakteru stojaté vlny.

Abychom vypočetli reálnou část  $\Re e u_2$ , zavedeme nejprve tato označení:

$$\cos z \sqrt{-\left( \frac{j_m^2}{a^2} + \frac{iv}{\kappa^2} \right)} = c_m e^{i\gamma_m}$$

$$a \quad \cos h \sqrt{-\left( \frac{j_m^2}{a^2} + \frac{iv}{\kappa^2} \right)} = \bar{c}_m e^{i\bar{\gamma}_m}.$$

<sup>5)</sup> K. Hayasi, Fünfstellige Funktionentafeln, Berlin 1930, str. 145.